Динамические параметры очагов землетрясений, произошедших на острове Сахалин в 1978-2024 гг.

Богомолов Л.М., Сычев В.Н.

Институт морской геологии и геофизики ДВО РАН, Южно-Сахалинск, Россия

### Мотивация, задача

Имеются данные по динамическим параметрам (ДП) очагов 431 землетрясений в северо-западной части Тихого океана, которые произошли в период 1969–1996 гг. [автор Р.Н. Бурымская]. Но из них лишь 8 приходится га территорий сахалина и прилегающий шельф

Недавние исследования ДП для землетрясений в С-3 части Тихого океана как правило ограничиваются сейсмическим моментом M<sub>0</sub>

#### Замысел -

Создание (расширение) банка данных по динамическим параметрам (в особенности по сброшенным напряжениям и приведенной сейсмической энергии) очагов землетрясений на о. Сахалин и окружающей акватории Охотского и Японского морей.

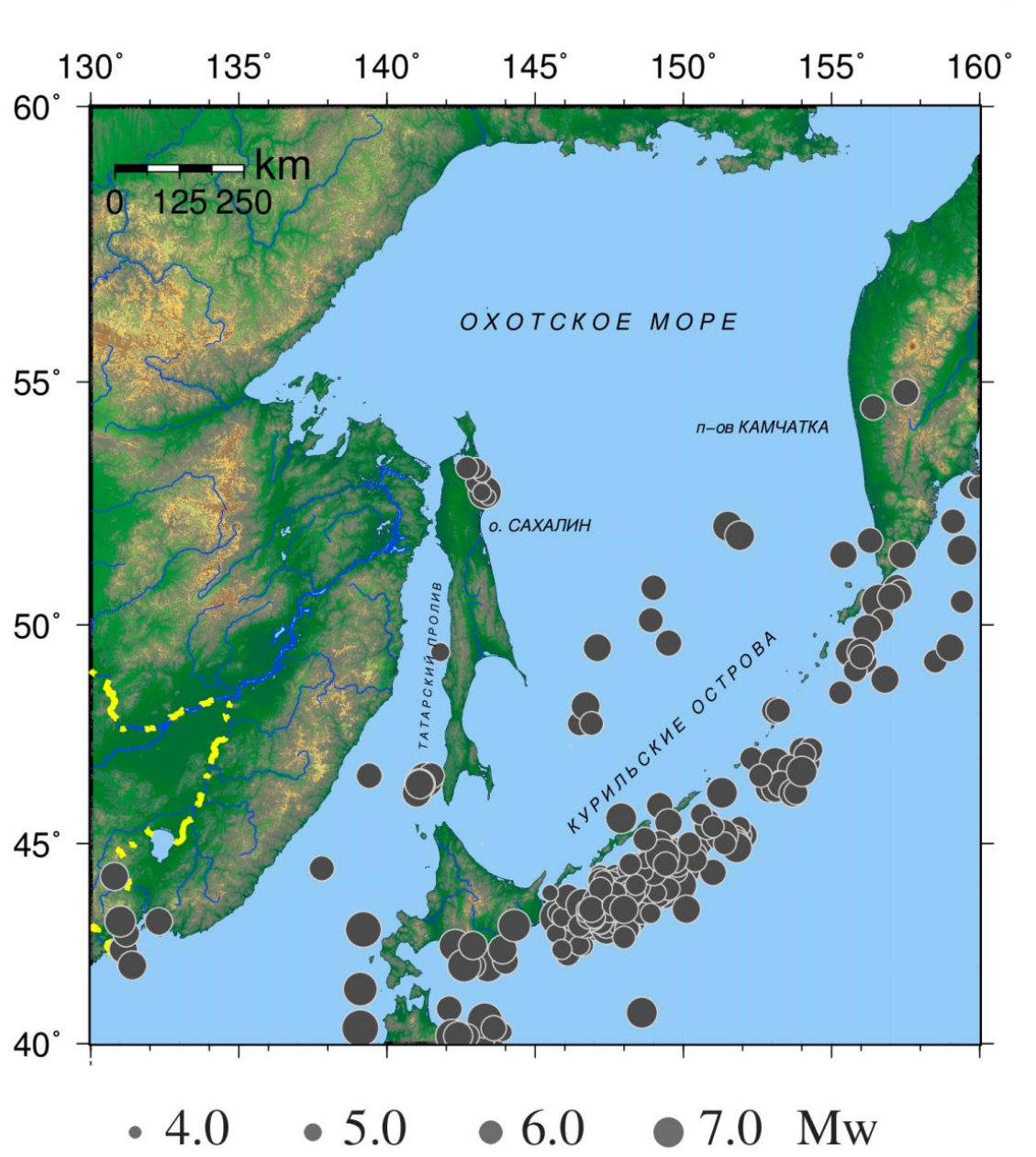
### Исходные данные

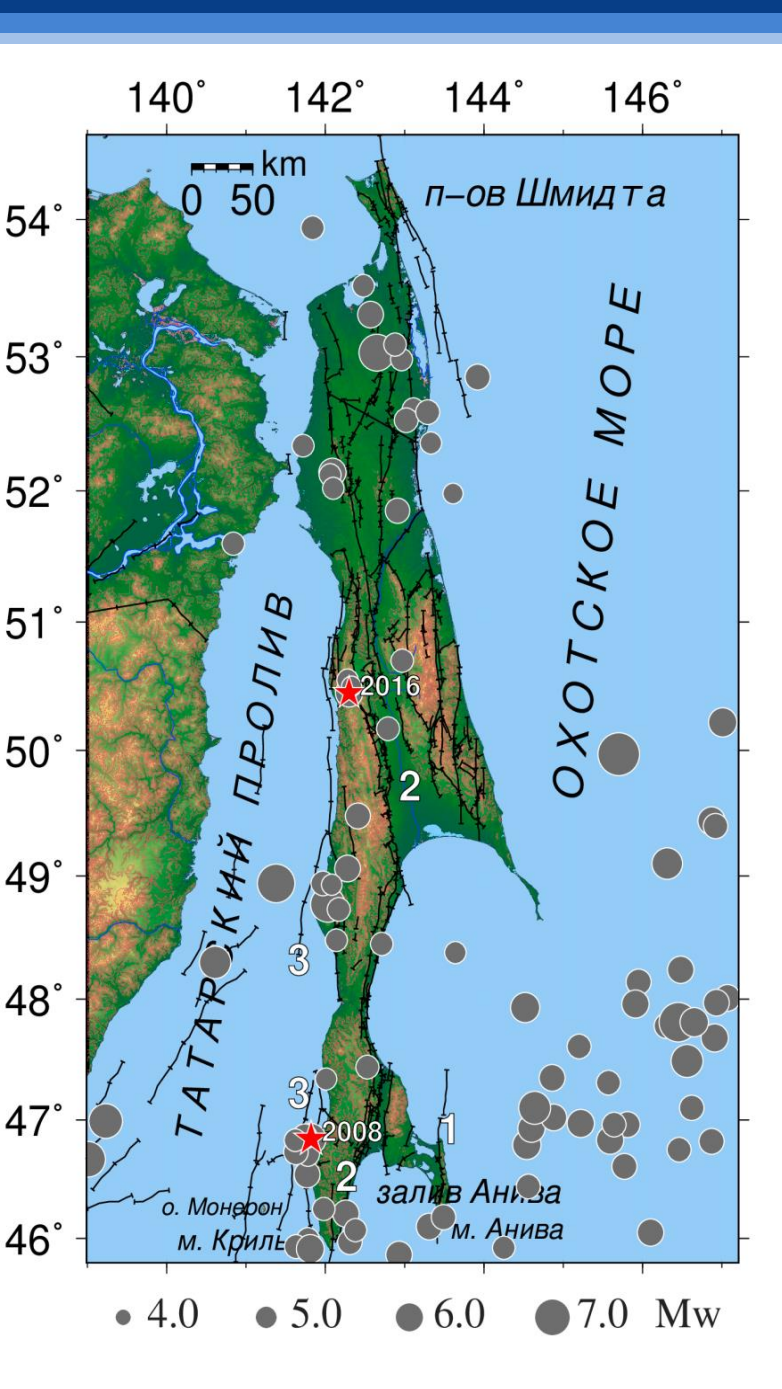
- Каталог динамических параметров 431 очага северо-западной части Тихого океана за 1969–1996 гг. *М*=4.1÷8.7. Согласно:
- Бурымская Р.Н. 2001. Спектральный состав излучения и очаговые параметры землетрясений северо-западной части Тихого океана за 1969—1996 годы. В кн.: Динамика очаговых зон и прогнозирование сильных землетрясений северо-запада Тихого океана. Южно-Сахалинск: ИМГиГ ДВО РАН/ Т. 1, С. 48—67.
- Каталог землетрясений, для которых рассчитаны компоненты тензора сейсмического момента, представлен на сайте Global CMT Catalog Search (<a href="https://www.globalcmt.org/CMTsearch.html">https://www.globalcmt.org/CMTsearch.html</a>).
- Для территории о. Сахалин и сопредельных акваторий Охотского и Японского морей из этого источника получены данные для 110 землетрясений с 1978 по 2024 г.

### Бурымская Р.Н. 2001.

431 событие, 216 - в южной части иссл. зоны.

Расположение эпицентров землетрясений 1969-1996 гг., для которых в [8] были определены спектральные и динамические параметры по записям аналоговых станций (через ЧИСС спектры). На территории Сахалина и шельфе – 8 событий





### События из каталога СМТ

Распределение по площади эпицентров 110 землетрясений из каталога СМТ за 1978–2024 гг.

(https://www.globalcmt.org/CMTsearch.html).

Красные звезды - землетрясения: 2007 - **Невельское** (2007.08.02,  $M_W$ =6.2), 2016 - **Онорское** (2016.08.14,  $M_W$ =5.7).

### Методика - расчетные выражения

- Сброшенные напряжения  $\Delta \sigma = 7 M_0 / 16 r^3$
- Приведенная сейсмическая энергия

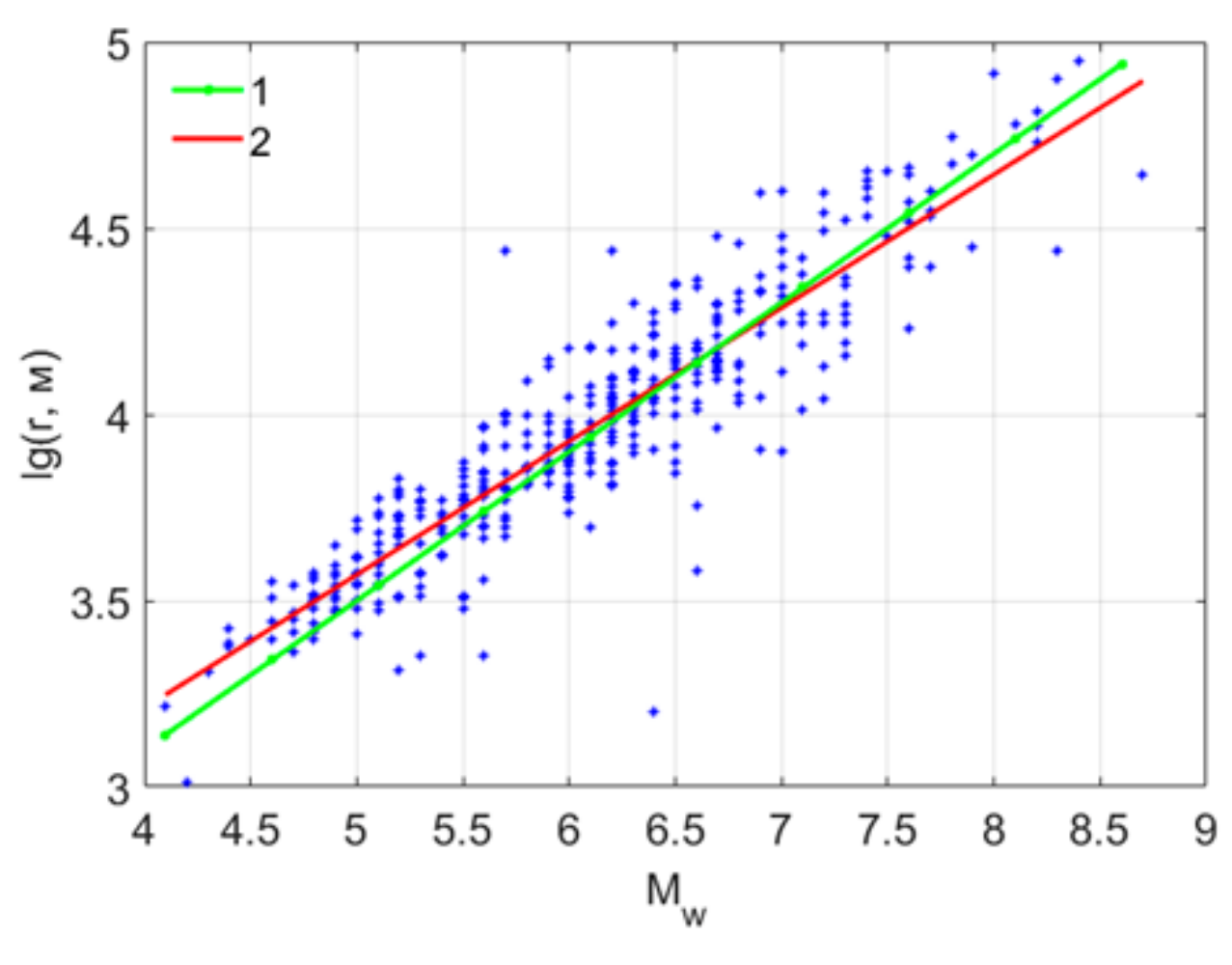
$$e_{PR} = (32k^3/7)\Delta\sigma/G$$

• Для модели Брюна [Кочарян, 2016]

$$e_{PR} = 0.2 \Delta \sigma / \rho V_S^2$$

- Прочие соотношения
- [Канамори, 1977]  $M_{
  m W} = 2/3~(\lg{(M_{
  m O})} 9.1)$
- По [Ризниченко, 1985] и [Бурымская, 2001] получаем значение радиуса очага (рассчитанного по модели Брюна)
- $\lg(r) = 0.4M_W + 1.5 = 0.27 \lg(M_0) 0.92$
- $\lg(r) = 0.36M_W + 1.78 = 0.24 \lg(M_0) 0.4$

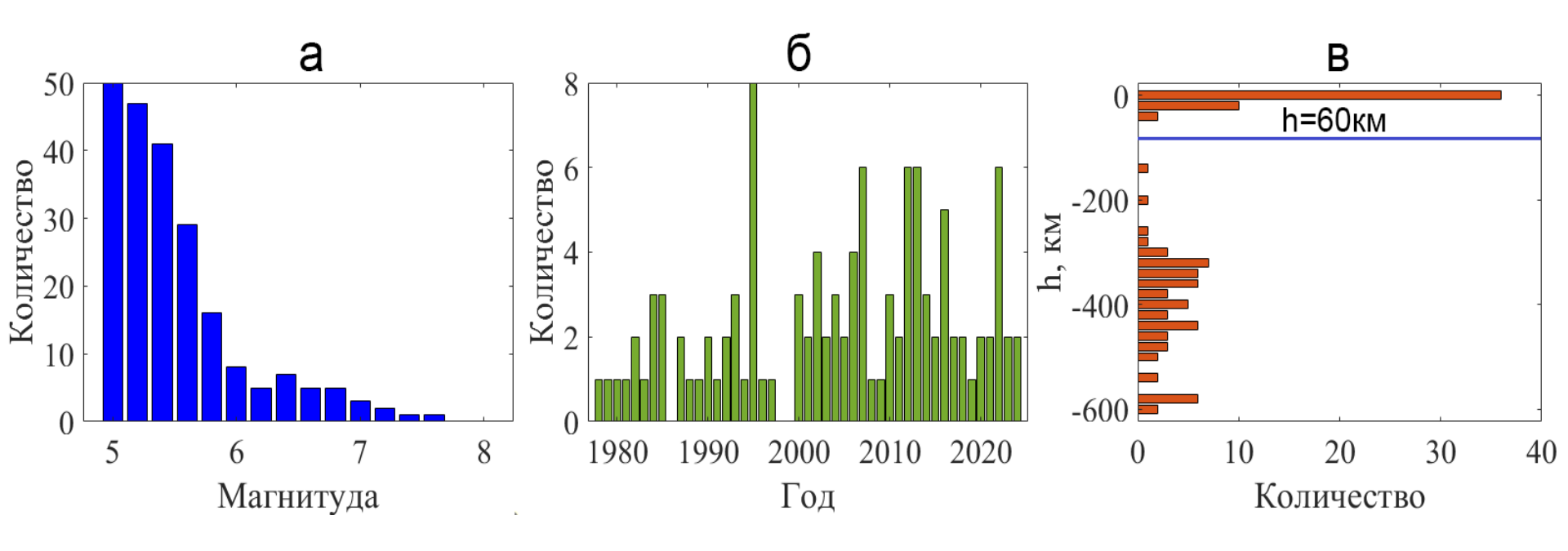
### Методика – аппроксимации радиуса *r*



Модельные зависимости  $\lg(r(M_W))$ : 1- теоретическая, согласно обобщению [Ризниченко, 1985], 2- эмпирическая, по каталогу ДП [Бурымская, 2001].

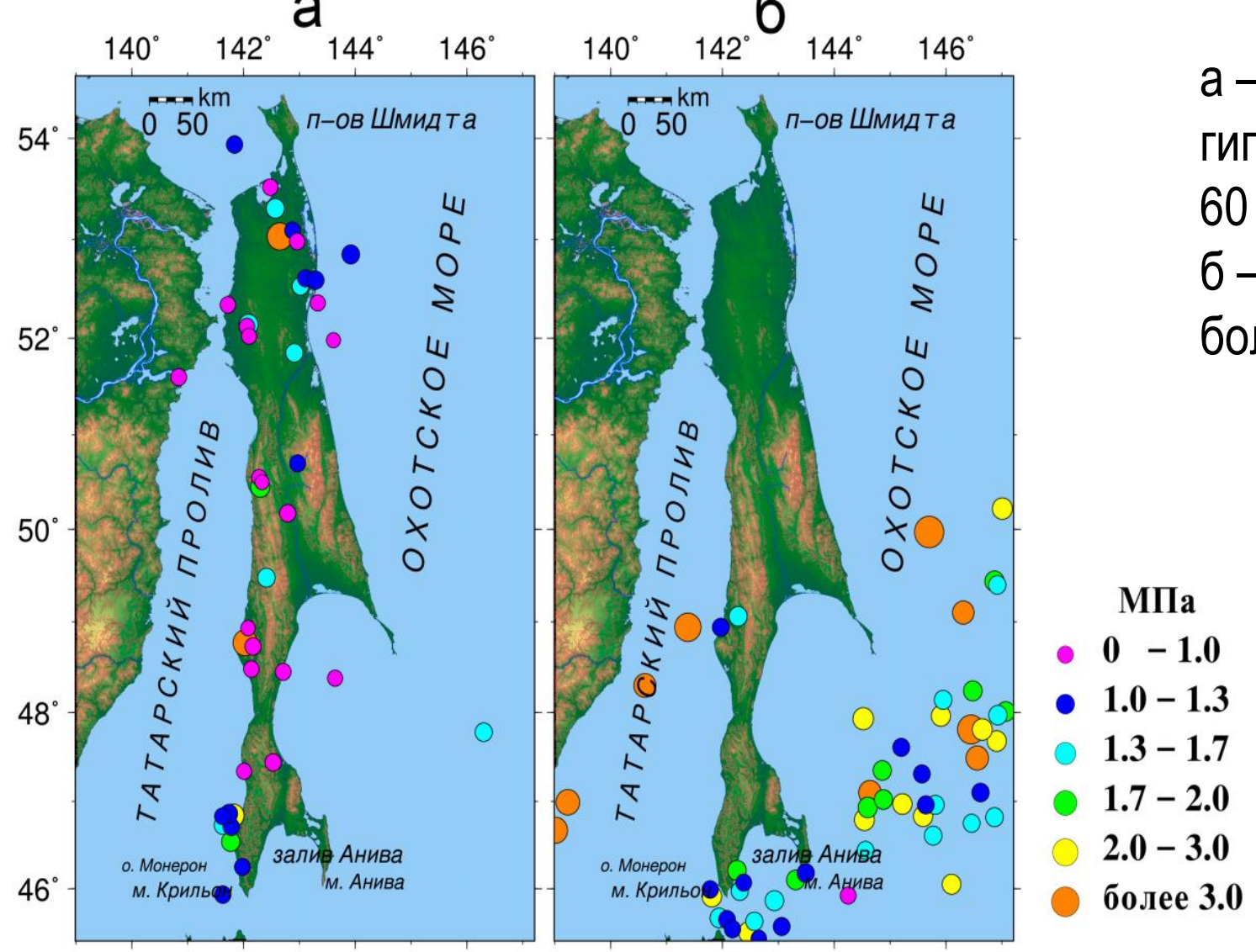
Для  $M_W$  < 6.7 регрессия по эмпирич. Данным несколько выше теории

Распределение 110 землетрясений из каталога СМТ: а - по магнитудам, б - во времени и в - по глубине.



Разделим нашу выборку на две части: 48 событий с глубиной гипоцентров менее 60 км и 62 события с гипоцентрами на глубине более 60 км.

## Результат - землетрясения, для которых определены сброшенные напряжения и др. ДП



а – с глубиной гипоцентров до 60 км, б – с глубиной более 60 км

### Средневзвешенные сброшенные напряжения

Представляет интерес усреднение Δσ по выборке событий, сформированной по какому-либо признаку (например, по расположению гипоцентров в заданной зоне или одинаковому типу подвижки в очаге).

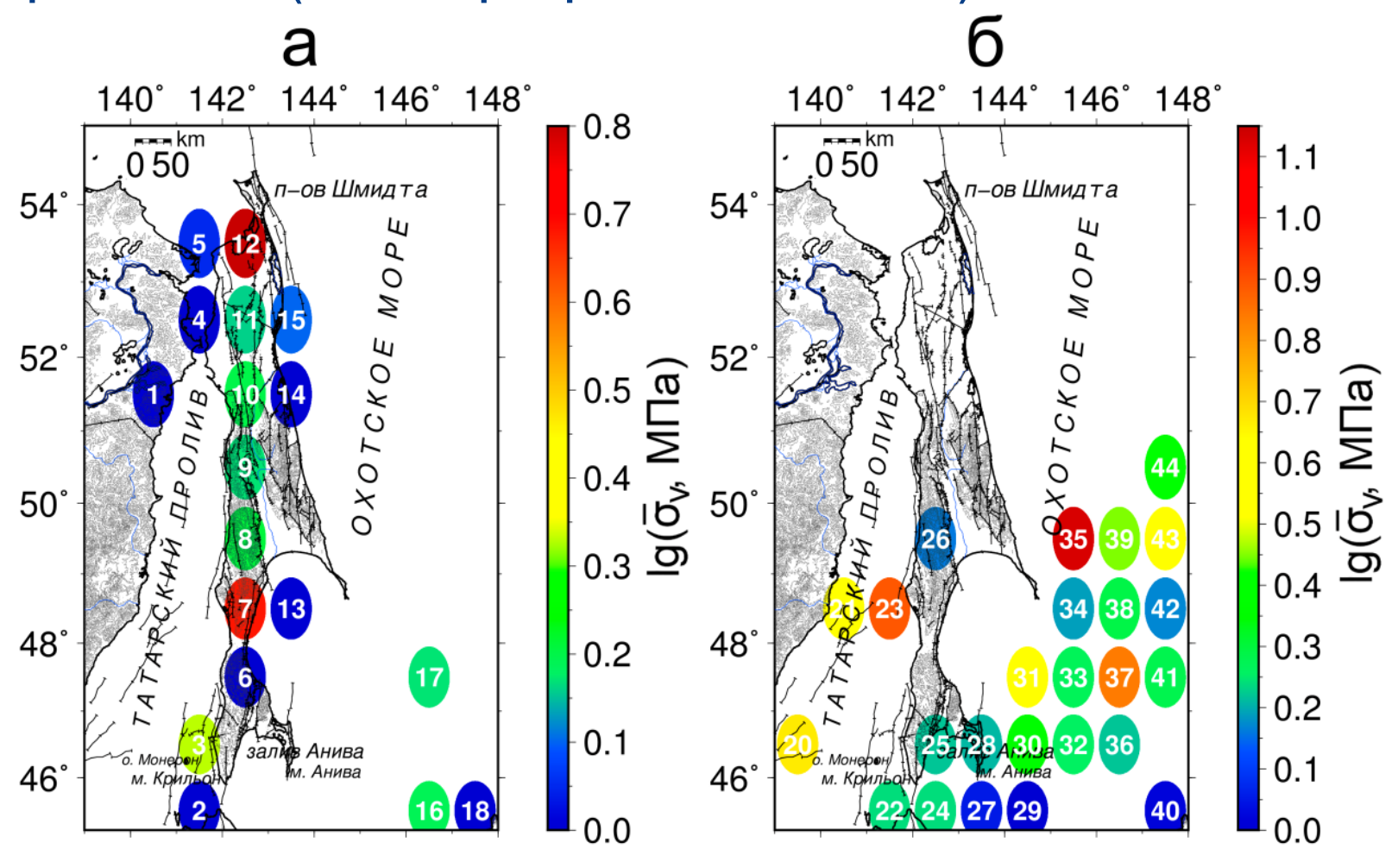
$$<\Delta\sigma>_{V} = \frac{\sum_{i}\Delta\sigma_{i} r_{i}^{3}}{\sum_{i}r_{i}^{3}}$$

Но произведение  $\Delta \sigma_i \cdot r_i^3 = 7/16 \; (M_0)_i$ , следовательно

$$<\Delta\sigma>_{\rm V} = \frac{7}{16} \frac{\sum_{\rm i} (M_0)_{\rm i}}{\sum_{\rm i} r_{\rm i}^3}$$

Расчеты проводились для ячеек размером 1 × 1°, при этом сдвиг также задавался в 1°.

### Распределение средневзвешенных сброшенных напряжений (в логарифмических ед.)



а – глубина гипоцентра до 60 км, б – более 60

# Сопоставление <Δσ> с геодинамическим районированием Сахалина

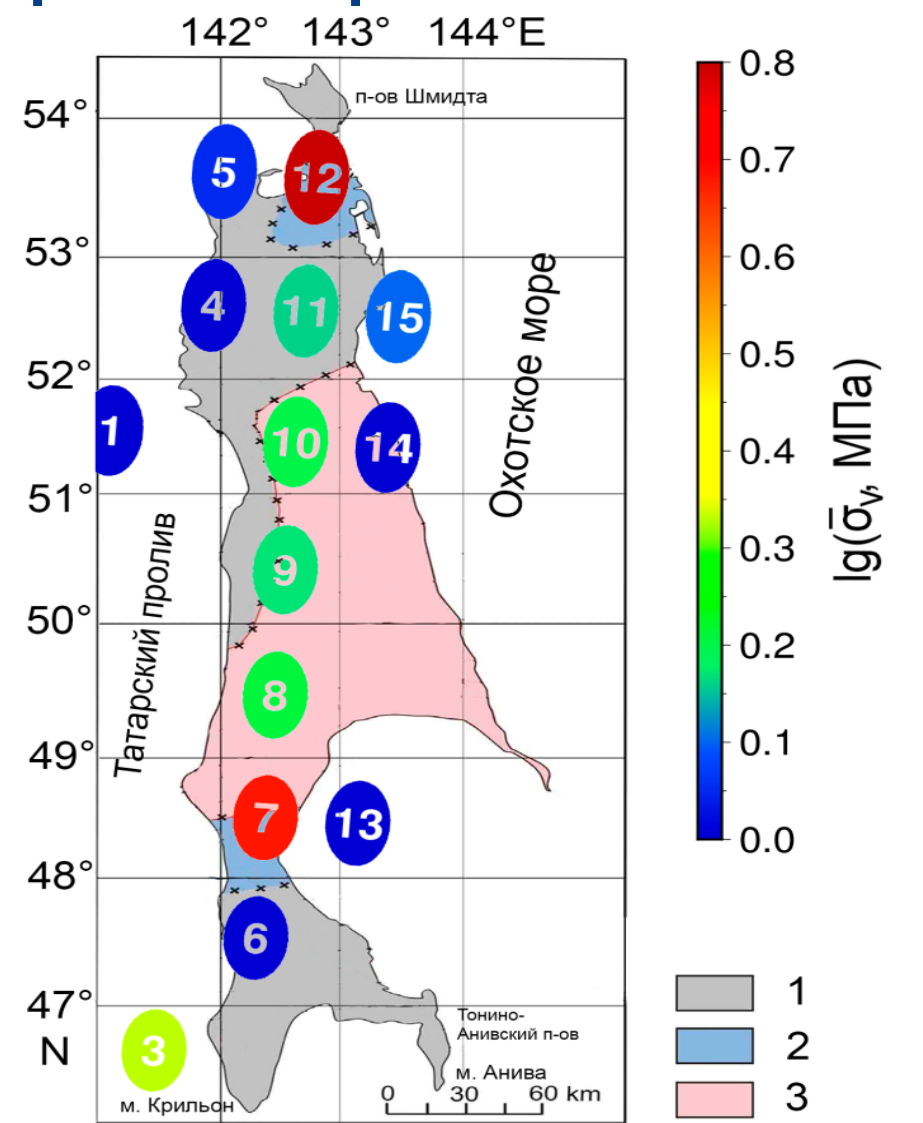
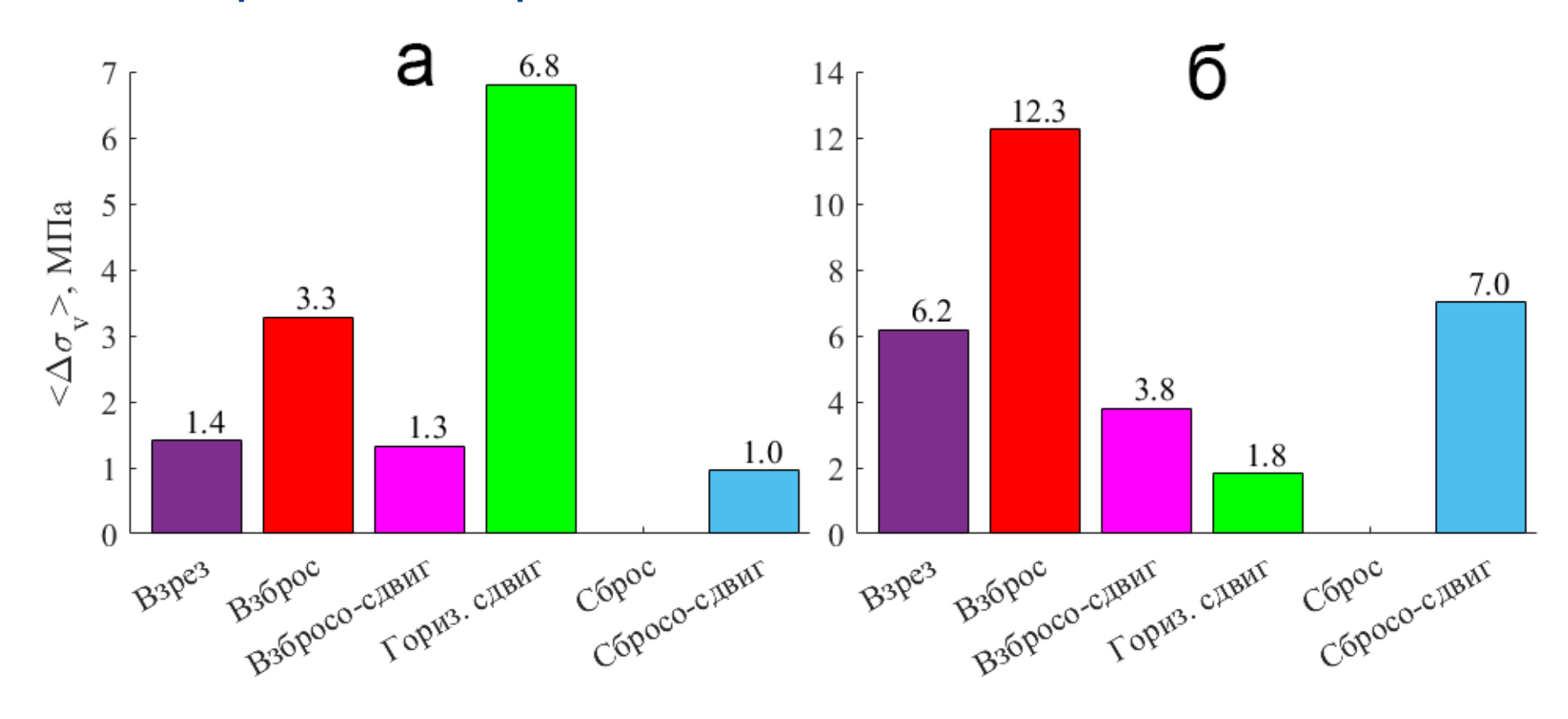


Схема районирования территории о. Сахалин по типу геодинамической обстановки, и расположение зон с различным средневзвешенным <Δσ> в районах с режимами: 1- области с трехосным напряженным состоянием, 2 – преобладает обстановка одноосного растяжения 3- преобладает обстановка одноосного растяжения сжатия.

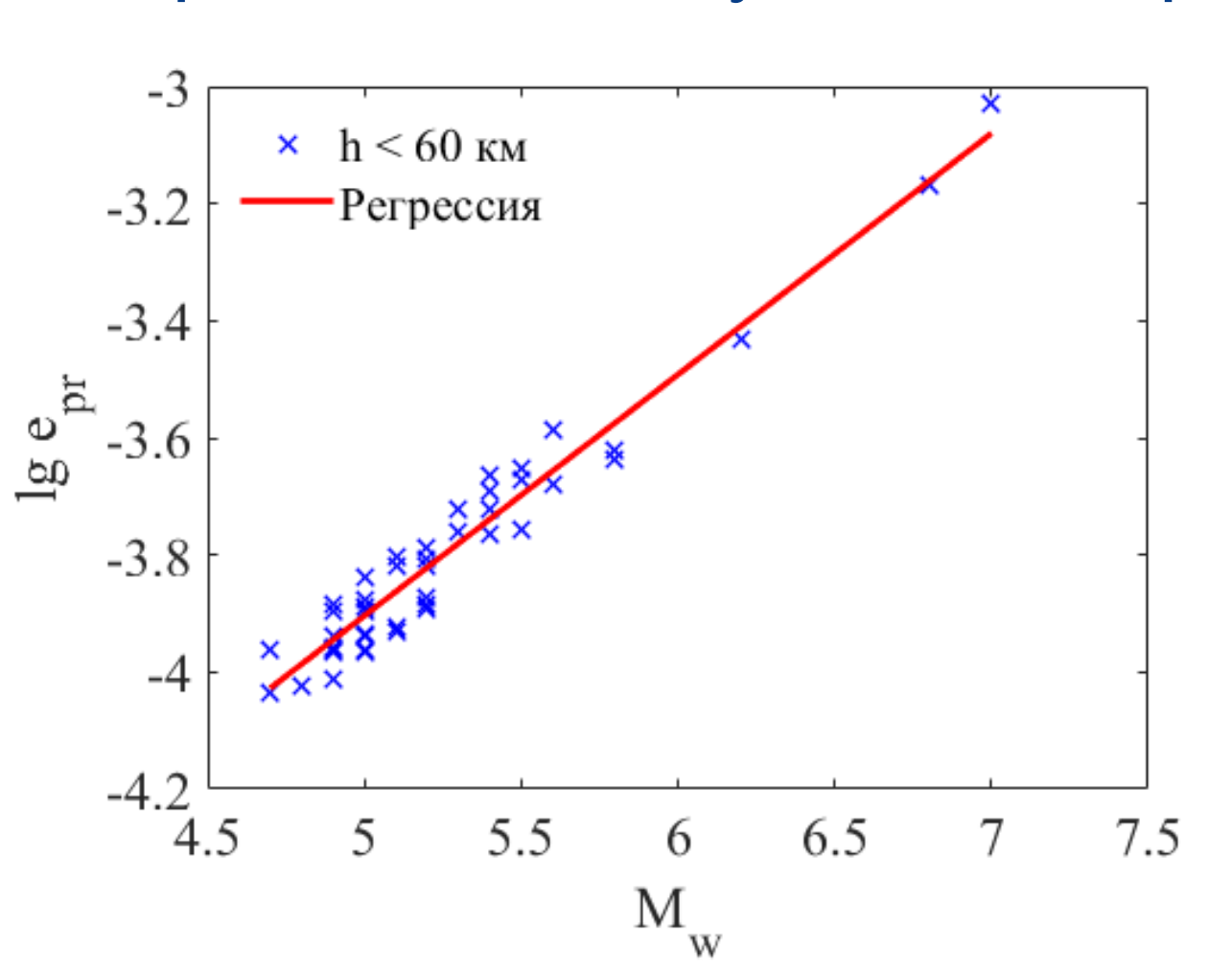
# Средневзвешенные сброшенные напряжения для землетрясений с разными типами очаговых подвижек



а – очаги на глубине до 60 км,

б – очаги на глубине более 60 км.

# Зависимость приведенной сейсмической энергии от магнитуды землетрясения



Зависимость  $e_{PR}$  от магнитуды землетр. для событий с глубиной гипоцентров до 60 км. Уравнение регрессии (красная линия)  $e_{PR} = 0.41 \ M_W - 5.96$ .

### Заключение

С использованием феноменологического подхода, опирающегося на наличие регрессии r ( $M_0$ ) или r ( $M_W$ ), получены значения ДП (r,  $\Delta \sigma$ ,  $e_{PR}$ ) для 110 землетр. на Сахалине и окружающих акваториях за 1978-2024 гг. Использованный подход опирается на концепцию о взаимосвязи  $r = f(M_W)$ , что соотв. узкому диапазону значений скорости разрыва  $V_R \sim (0.75-0.9) \ V_S$ .

Для картирования распределений  $\Delta \sigma$  и сравнения с геодинамическими обстановками предложено ввести средневзвешенные значения  $<\Delta \sigma>$  с весовыми коэффициентами  $\sim r^3$ . Средневзвешенные  $\Delta \sigma$  для очагов с глубинами до 60 км находятся в пределах 0.7-6.6 МПа. Выделены зоны с наименьшими и наибольшими значениями  $<\Delta \sigma>$ .

В этих же зонах достигается, соответственно, минимум и максимум приведенной сейсмической энергии. Для очагов землетр. на глубинах до 60 км есть линейная регрессия между значениями  $e_{PR}$  и  $M_W$ .